

# ИНДУЦИРОВАННОЕ ИК ЛАЗЕРОМ УСКОРЕНИЕ НЕЙТРАЛЬНЫХ МОЛЕКУЛЯРНЫХ ПУЧКОВ

*В.Н.Лохман, Г.Н.Макаров*

*Институт спектроскопии РАН  
142092 г. Троицк Московской обл., Россия*

Поступила в редакцию 20 декабря 1994 г.

Предложен метод и приведены результаты по ускорению нейтральных молекулярных пучков путем возбуждения молекул мощным ИК лазерным излучением в зоне газодинамического расширения на выходе из сопла. Метод позволяет получать интенсивные молекулярные пучки с кинетической энергией  $> 1\text{эВ}$ , и его можно комбинировать с аэродинамическим ускорением.

1. Интенсивные молекулярные пучки с кинетической энергией от одного до нескольких электронвольт требуются в различных областях фундаментальных и прикладных исследований (изучение химических реакций с энергетическими барьерами, взаимодействие молекул с поверхностью и т.д.) [1]. Существует несколько способов решения этой проблемы [2, 3], которые можно классифицировать в соответствии с процессом, лежащим в основе управления энергией молекул: 1) электростатический процесс, в котором используется нейтрализация ионных пучков и 2) термодинамический процесс, основанный на выделении молекулярных пучков из свободно расширяющихся сверхзвуковых струй. В первом случае управление кинетической энергией молекул осуществляется подбором напряжения на электродах, установленных на пути пучка, во втором – кинетическая энергия определяется температурой  $T_0$  газа до расширения через сопло:

$$\frac{1}{2}mv^2 = \frac{\gamma}{\gamma - 1}k(T_0 - T), \quad (1)$$

где  $v$  – установившаяся скорость потока,  $m$  – масса молекулы,  $\gamma = C_p/C_v$  – отношение удельных теплоемкостей расширяющегося газа,  $k$  – постоянная Больцмана и  $T$  – установившаяся температура.

Таким образом, при комнатной температуре кинетическая энергия молекул не может быть увеличена, за исключением случаев, когда интересующий нас газ разбавляется в более легком газе – носителе [4, 5]. Этот метод не слишком эффективен в случае, когда отношение масс интересующего газа и носителя мало. Его можно комбинировать с нагреванием сопла до  $\simeq 3000\text{ К}$ . Такая система позволяет, например, ускорять атомы аргона, разбавленные в гелии, до нескольких электронвольт [6]. Однако этот метод также не является универсальным, поскольку при высоких температурах возможны диссоциация молекул, разрушение материала сопла и т.д.). В работе [7] для решения этой проблемы было предложено использовать непрерывный оптический разряд, который поджигается внутри сопла непосредственно перед выходным отверстием. Поджиг разряда осуществляется импульсным лазером, либо электрическойискрой, а поддерживается он непрерывным  $\text{CO}_2$ -лазером. Очевидно, что этот метод также не универсален, а техническая реализация его является довольно сложной.

В данной работе описывается метод ускорения интенсивных нейтральных молекулярных пучков, основанный на возбуждении молекул ИК лазерным излучением в зоне газодинамического расширения. Суть метода заключается в следующем. Молекулы, истекающие из сопла, возбуждаются мощным резонансным ИК лазерным излучением в зоне газодинамического расширения сразу на выходе из сопла. ИК поглощение молекул приводит к значительному увеличению их внутренней (главным образом, колебательной) энергии. В то же время за счет процесса колебательно-поступательной  $V - T$ -релаксации происходит уменьшение внутренней и одновременно увеличение кинетической энергии молекул.

2. Схема экспериментальной установки показана на рис.1. Подробно она описана в работах [8, 9]. Здесь приведем лишь краткое ее описание. В экспериментах использовалось импульсное сопло типа "токовая петля" [10], работающее при комнатной температуре. Диаметр отверстия сопла 0,75 мм. Время открывания  $\approx 60$  мкс (по полувысоте). Корпус сопла был изготовлен из дюралюминия. Срез сопла был выполнен в форме конуса с полным углом раствора  $60^\circ$ . Длина конуса 15 мм. Вакуумная камера, в которой формировался молекулярный пучок, откачивалась до давления  $\approx 1 \cdot 10^{-6}$  торр. Сопло работало с частотой 0,2 Гц. Для выделения молекулярного пучка из струи использовалась коническая диафрагма (скиммер) с диаметром отверстия 1,5 мм, которая устанавливалась на расстоянии 50 мм от среза сопла.

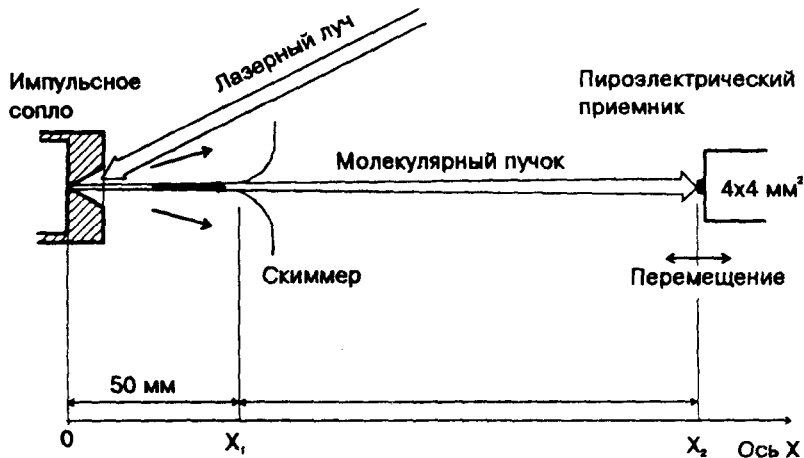


Рис.1. Схема экспериментальной установки

Возбуждение молекул производилось [8, 9] импульсным ТЕА  $\text{CO}_2$ -лазером, перестраиваемым по частоте с помощью дифракционной решетки. Лазер генерировал импульсы с энергией до 3 Дж. Чтобы избежать оптического пробоя внутри конуса сопла, энергия лазера уменьшалась до  $\approx 0,1$  Дж за счет выделения  $\text{TEM}_{00}$  моды и дополнительного ослабления пластинками из  $\text{CaF}_2$ . Лазерное излучение направлялось в зону газодинамического расширения без фокусировки.

Детектирование молекулярного пучка производилось [8, 9] с помощью неохлаждаемого пироэлектрического приемника (ПЭП) с временным разрешением  $\approx 3 - 5$  мкс [11]. Пироприемник мог перемещаться вдоль оси пучка с помо-

щью механического устройства. Это позволяло получать времяпролетные (ВП) спектры молекул в различных точках на оси пучка [9] и непосредственно измерять наиболее вероятную скорость молекул (в максимуме ВП распределения). Сигнал с ПЭП усиливался ( $\times 100$ ) и подавался на вход цифрового осциллографа С9-16.

Без предварительного возбуждения молекул сигнал с детектора пропорционален величине

$$S_0 \sim nv(E_a + E + mv^2/2) \sim nvE_0, \quad (2)$$

где  $n$  – плотность числа молекул на поверхности детектора,  $v$  – скорость и  $m$  – масса молекулы,  $E$  – энергия молекулы (сумма колебательной, вращательной и "локальной" поступательной энергии) и  $E_0$  – полная энергия, приведенная в скобках. В случае, когда молекулы в пучке возбуждаются лазерным импульсом, сигнал пропорционален величине [8, 9]

$$S_L \sim nv(E_0 + E_{ab}), \quad (3)$$

где  $E_{ab}$  – энергия, поглощенная молекулой из лазерного поля.

Когда молекулы в пучке возбуждаются на достаточно больших расстояниях от сопла ( $X > 50$  мм), где столкновения и процесс  $V - T$ -релаксации практически не имеют места, скорость возбужденных молекул не отличается от скорости невозбужденных [8, 9]. Если же молекулы возбуждаются в зоне газодинамического расширения, где частота столкновений велика, то за счет процесса  $V - T$ -релаксации поглощенная энергия полностью или частично переходит в поступательные степени свободы, в результате чего и происходит ускорение молекул, в том числе и на поглощающих ИК излучение.

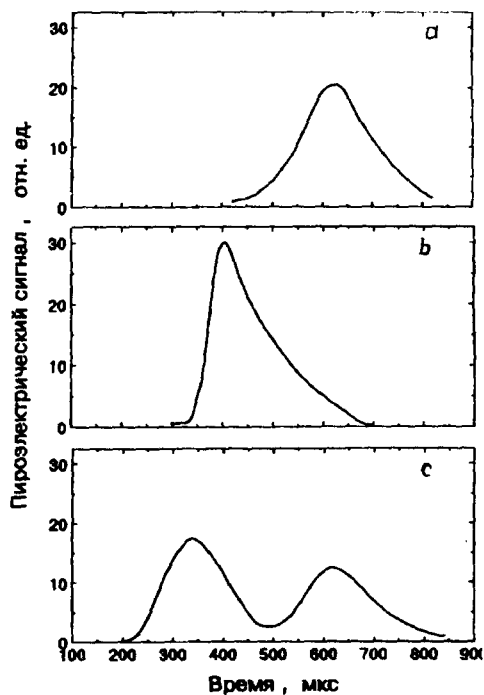


Рис.2. Времяпролетные спектры молекул SF<sub>6</sub> без лазерного ускорения (a) и при лазерном ускорении (b, c). В случае b ускорены все молекулы в пучке, в случае c ускорены только молекулы, истекающие из сопла в первый момент. Расстояние от сопла до приемника – 25 см. Давление SF<sub>6</sub> в сопле – 4 атм. Энергия CO<sub>2</sub>-лазера: b) – 0,1 Дж, c) – 0,05 Дж; линия 10P(20)

3. В экспериментах измерялись ВП спектры молекул в пучке на различных расстояниях от сопла и определялась наиболее вероятная скорость молекул в неускоренных и ускоренных пучках. Эксперименты проводились с молекулами  $SF_6$ ,  $CF_3I$ ,  $NH_3$ ,  $CF_2HCl$  как без носителей, так и с носителями ( $H_2$ ,  $D_2$ ,  $N_2$ ,  $Ar$ ,  $CH_4$ ). На рис.2 приведены сигналы с детектора (ВП спектры молекул  $SF_6$ ) без лазерного ускорения (a) и при лазерном ускорении (b, c). Возбуждение молекул производилось на линии 10Р(20)  $CO_2$ -лазера ( $944,2\text{ см}^{-1}$ ), которая хорошо попадает в резонанс с колебанием  $\nu_3$  молекулы [8, 12]. В случае рис.2b задержка между импульсами, запускающими сопло и  $CO_2$ -лазер, подбиралась так ( $\tau_d = 120$  мкс), чтобы ускорить все молекулы в пучке. В случае рис.2c задержка была уменьшена ( $\tau_d = 60$  мкс), чтобы ускорить только те молекулы, которые истекают из сопла в первый момент, а другие оставить неускоренными. Когда, наоборот, задержка увеличивалась ( $\tau_d = 180$  мкс) и лазерный импульс возбуждал молекулы, истекающие из сопла в последний момент, имел место обгон неускоренных молекул пучка ускоренными.

Наиболее вероятная скорость молекул  $SF_6$  без лазерного ускорения была  $v_0 = (470 \pm 10)$  м/с, что соответствует кинетической энергии  $E_{kin} \simeq 0,17$  эВ, а скорость ускоренных –  $v_L = (815 \pm 15)$  м/с и  $E_{kin}^L \simeq 0,51$  эВ. В комбинации с аэродинамическим ускорением молекул  $SF_6$  с метаном ( $SF_6:CH_4 = 1 : 10$ ,  $p_\Sigma = 1$  атм) получено  $v_0 \simeq 1000$  м/с, а  $v_L \simeq 1200$  м/с, что соответствует кинетической энергии молекул  $SF_6$   $E_{kin}^L \simeq 1,0$  эВ.

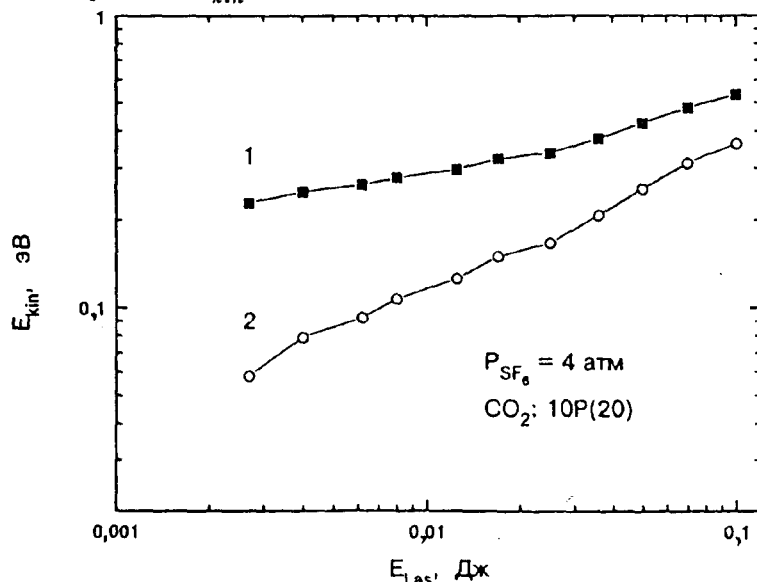


Рис.3. Зависимость кинетической энергии ускоренных молекул  $SF_6$  от энергии возбуждающего импульса  $CO_2$ -лазера. 1 – полная кинетическая энергия молекул  $SF_6$  в пучке, 2 – кинетическая энергия, индуцированная лазером. Давление  $SF_6$  в сопле – 4 атм. Линия лазера – 10Р(20)

В аналогичных экспериментах с  $CF_3I$  ( $p_0 = 1$  атм, возбуждение производилось в полосе колебания  $\nu_1$  молекулы линией 9Р(12)  $CO_2$ -лазера –  $1073\text{ см}^{-1}$  [13]) скорость молекул без лазерного ускорения была  $v_0 = (415 \pm 10)$  м/с ( $E_{kin} = 0,18$  эВ), а с ускорением –  $v_L = (845 \pm 15)$  м/с, что соответствует кинетической энергии  $E_{kin}^L \simeq 0,74$  эВ. В комбинации с аэродинамическим ускорением  $CF_3I$  в смеси с метаном ( $CF_3I : CH_4 = 1 : 15$ ,  $p_\Sigma = 1,3$  атм) наиболее

вероятная скорость без лазерного ускорения была  $v_0 = (815 \pm 15)$  м/с, а с лазерным ускорением –  $v_L = (1065 \pm 20)$  м/с, что соответствует кинетической энергии молекул  $\text{CF}_3\text{I}$   $E_{kin}^L \simeq 1,2$  эВ.

На рис.3 приведены зависимости кинетической энергии молекул  $\text{SF}_6$  от энергии возбуждающего лазерного импульса. Кривой 1 показана полная кинетическая энергия молекул, а кривой 2 – энергия, индуцированная лазером. Видно, что в исследуемом диапазоне энергия, наведенная лазером, растет с увеличением энергии возбуждающего импульса  $E_p$  как  $E_{kin}^L \sim E_p^{1/2}$ , без выхода на насыщение, почти аналогично поглощению  $\text{SF}_6$  [8, 12]. Поэтому можно полагать, что при более высоких энергиях возбуждающего импульса (которые просто реализовать с соплом без конуса [9]) и давлениях газа в сопле можно получить молекулярные пучки с кинетической энергией  $> 1$  эВ. Пиковая интенсивность ускоренных молекулярных пучков при этом  $> 10^{21}$  молекул/ср·с.

Авторы выражают благодарность А.Н.Петину за техническую помощь.

- 
1. Atomic and Molecular Beam Methods. Ed. G.Scoles, New-York-Oxford, Oxford University Press, 1988.
  2. H.Pauli. In: Atomic and Molecular Beam Methods. Ed. G.Scoles, New-York-Oxford, Oxford University Press, 1988.
  3. J.M.Girard, A.Lebehot and R.Comparque, J. Phys. D: Appl. Phys. **26**, 1382 (1993).
  4. E.W.Becker and W.Henkes, Z. Physik **146**, 320 (1956).
  5. E.Kolodney and A.Amirav, Chem Phys. **82**, 269 (1983).
  6. R.Comparque, A.Lebehot, J.C.Lemonnier, and D.Marette, Rarefied Gas Dynamics. Ed. S.S.Fisher (New-York: AIAA), 1980, p.823.
  7. P.Asselin, C.Meis, A.Lebehot et al., Rarefied Gas Dynamics. Ed. A.E.Beylich (Weinheim: VCH), 1991, p.1466.
  8. В.М.Апатин, Г.Н.Макаров, ЖЭТФ **84**, 15 (1983).
  9. В.М.Апатин, Л.М.Дорожкин, Г.Н.Макаров, and Г.М.Плещков, Appl. Phys. **B29**, 273 (1982).
  10. W.R.Gentry and C.F.Giese, Rev. Sci. Instrum. **49**, 595 (1978).
  11. R.V.Ambartsumian, L.M.Dorozhkin, G.N.Makarov et al., Appl. Phys. **22**, 409 (1980).
  12. Р.В.Амбарцумян, Ю.А.Горохов, В.С.Летохов, Г.Н.Макаров, ЖЭТФ **69**, 1956 (1975).
  13. В.М.Апатин, Г.Н.Макаров, Квантовая электроника **10**, 1435 (1983).